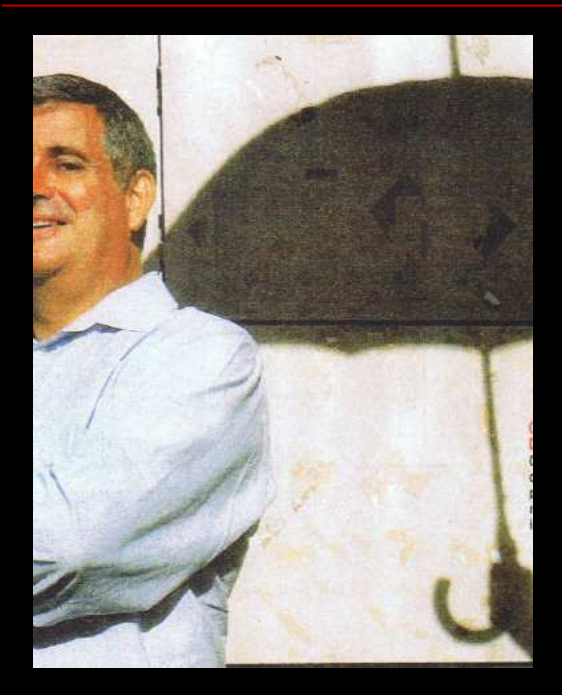
Cours sur l'utilisation des produits satellitaires aux applications agro-météorologiques 5-9 Mai 2014 Ouagadougou (Burkina Faso)



MONITORISATION DE FEUX DE BROUSSE ET DE FORÊT PARMI MSG ET SATELLITES D'ORBITE POLAIRE

Jeudi 8 mai 2014

12h10 - 13h00





Carlos C. DaCamara
IDL – Université de Lisbonnne
Email: cdcamara@fc.ul.pt

Cours sur l'utilisation des produits satellitaires aux applications agro-météorologiques 5-9 Mai 2014 Ouagadougou (Burkina Faso)



PARTIE 0

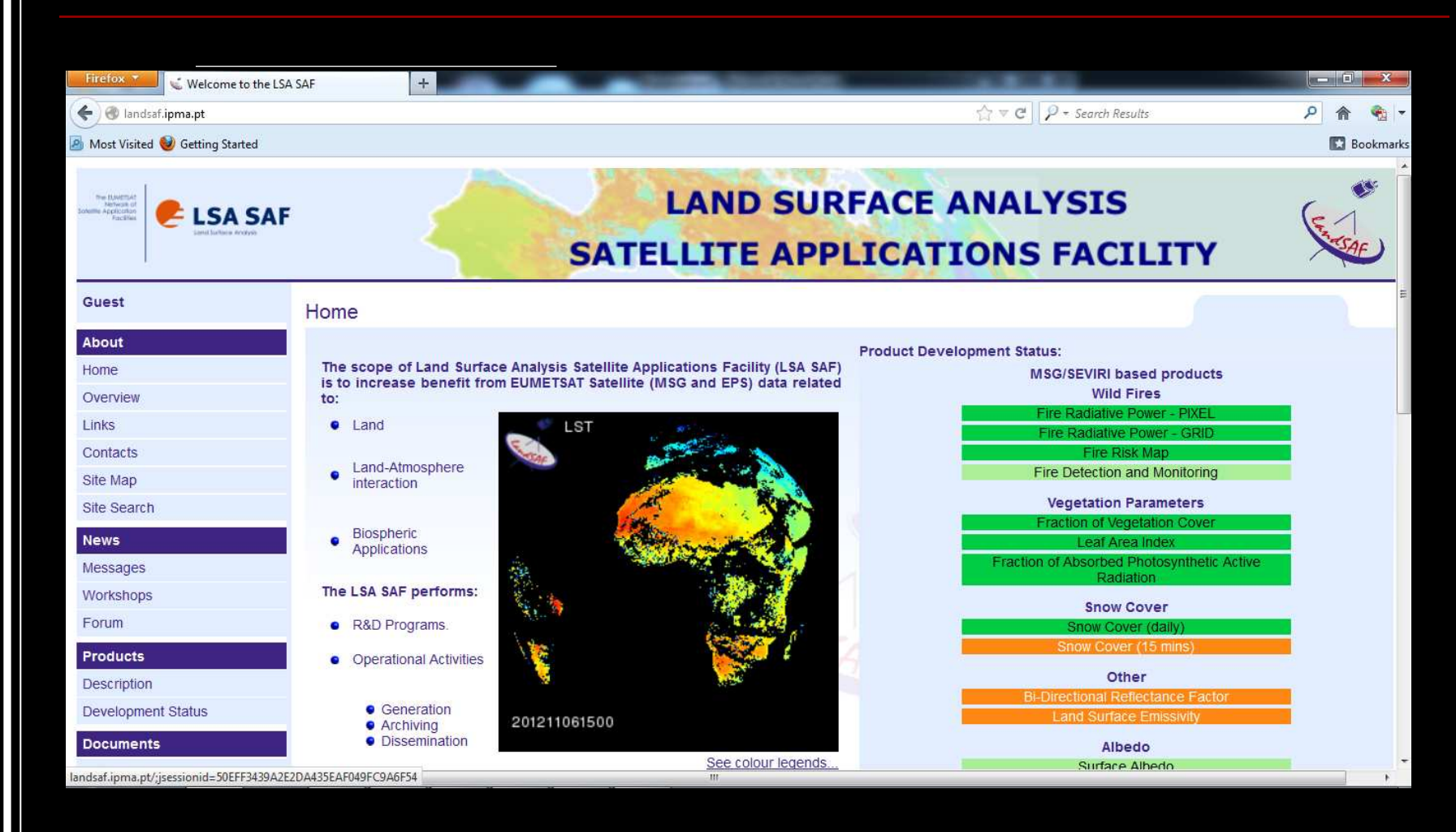
LE LAND SAF





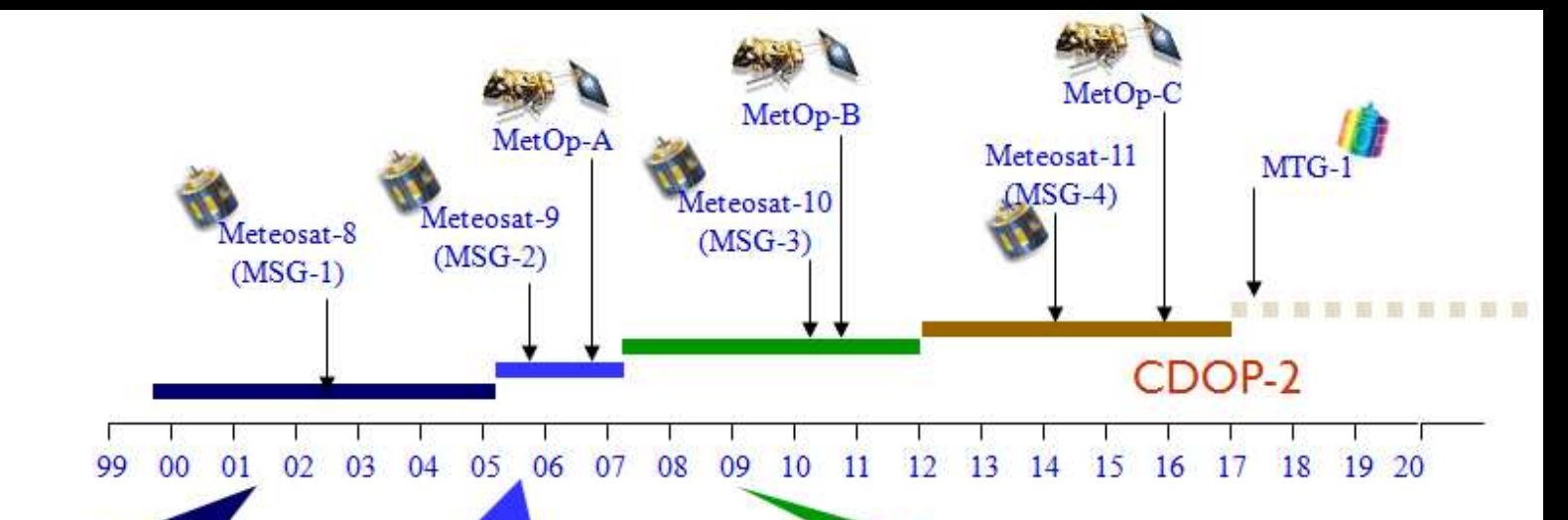
Carlos C. DaCamara
IDL – Université de Lisbonnne
Email: cdcamara@fc.ul.pt





http://landsaf.ipma.pt/





Development Phase: Sep 99 – Jan 05

Initial Operations Phase: Feb 05 – Feb 07

Continuous
Development &
Operations Phase I:
Mar 07 – Feb 12



Surface Radiation Surface Water Balance LST **↓LongWave Flux Snow Cover ↓ShortWave Flux** Albedo Evapotranspiration Vegetation Wild fires **Fraction Veg Cover** Fire Detection Fire Radiative Power LAI Fire Risk (Europe) **fAPAR** Increased level of maturity

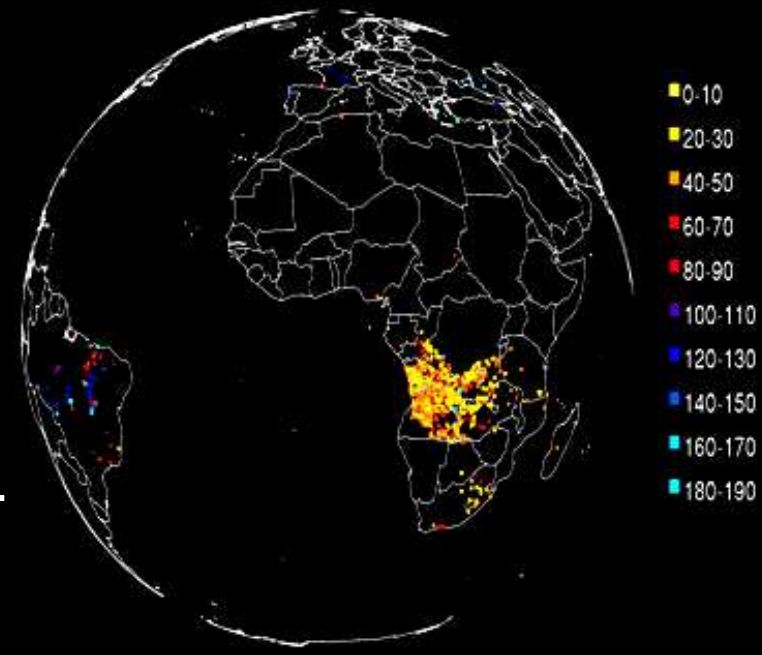
■ Le LSA SAF dissémine actuellement, d'une forme opérationelle, les produits suivants:

- Le LSA SAF dissémine actuellement, d'une forme opérationelle, les produits suivants:
 - Le produit Fire Risk Mapping (FRM), qui fournit chaque jour des cartes de risque métórologique de feu sur l'europe méditerranéenne;

- Le LSA SAF dissémine actuellement, d'une forme opérationelle, les produits suivants:
 - Le produit Fire Risk Mapping (FRM), qui fournit chaque jour des cartes de risque métórologique de feu sur l'europe méditerranéenne;
 - Le produit Fire Detection and Monitoring (FD&M), qui fournit une monitorisation continue de l'activité de feux sur l'Afrique et sur l'Europe;

- Le LSA SAF dissémine actuellement, d'une forme opérationelle, les produits suivants:
 - Le produit Fire Risk Mapping (FRM), qui fournit chaque jour des cartes de risque métórologique de feu sur l'europe méditerranéenne;
 - Le produit Fire Detection and Monitoring (FD&M), qui fournit ume monitorisation continue de l'activité de feux sur l'Afrique et sur l'Europe;
 - Le produit Fire Radiative Power (FRP) qui permet d'estimer les emissions de gaz carbonique par les feux de végétation.

FIRE RADIATIVE POWER

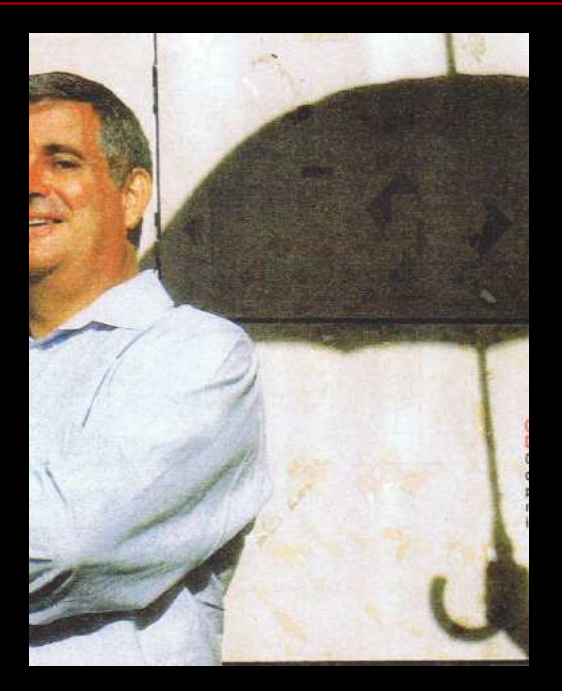


The ELACTRAT Network of Salestie Application



23 Jul 2008 14 UTC

Cours sur l'utilisation des produits satellitaires aux applications agro-météorologiques 5-9 Mai 2014 Ouagadougou (Burkina Faso)



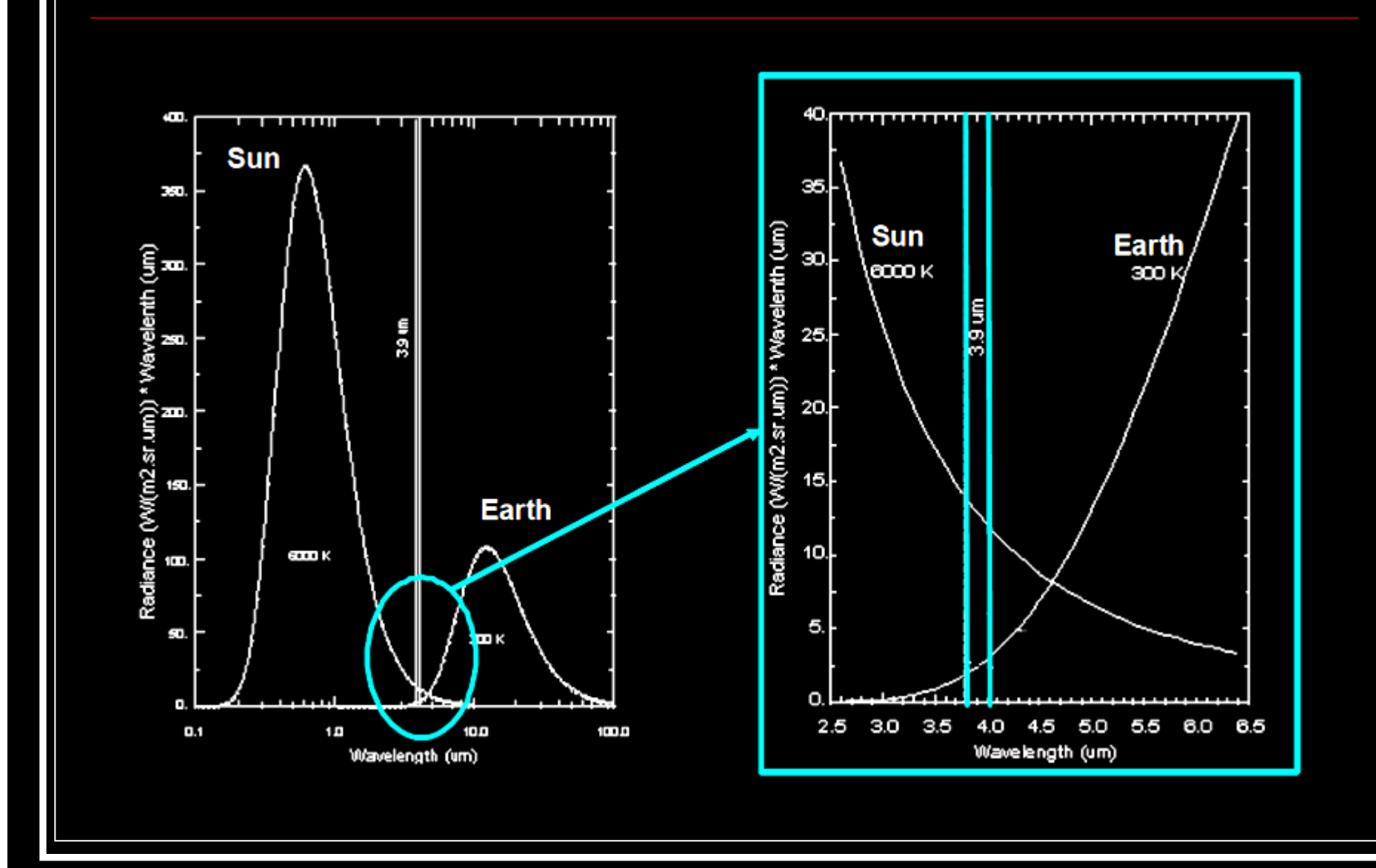
PARTIE 1
FEUX ACTIFS

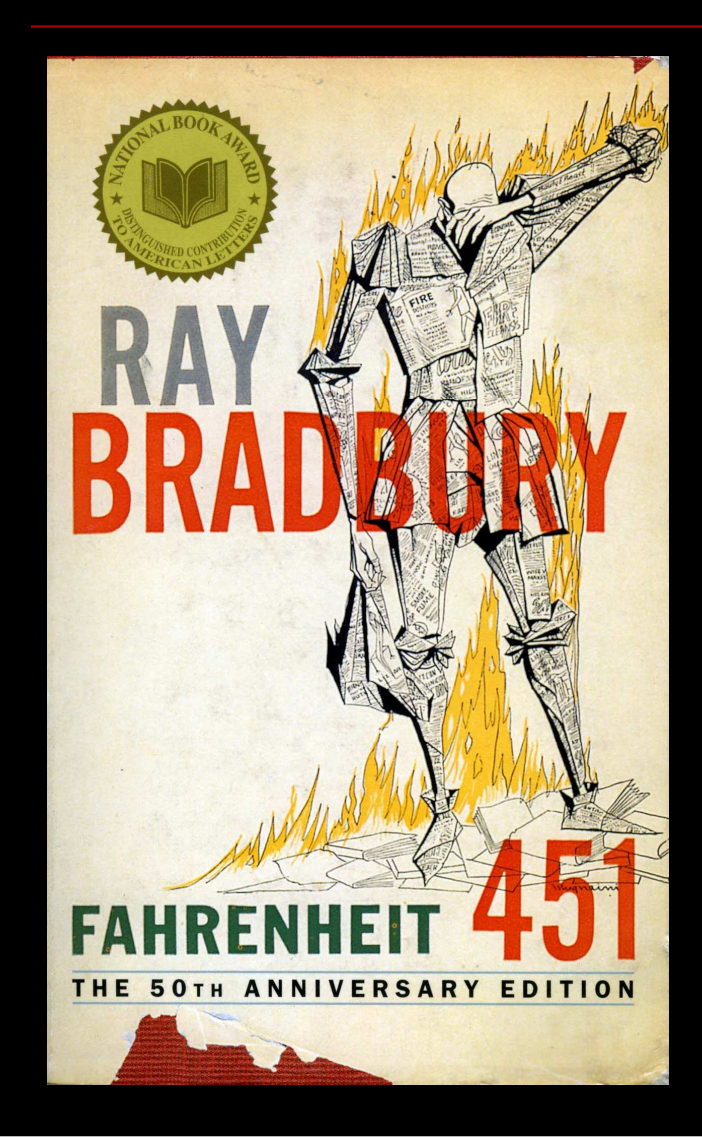




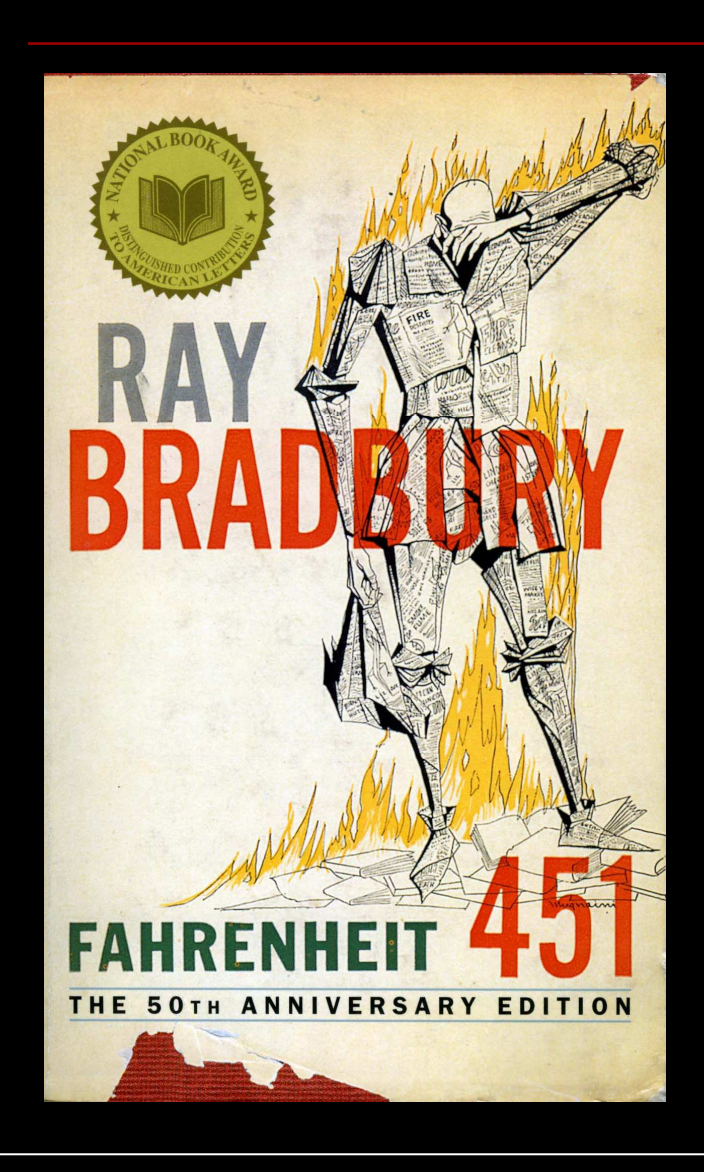
Carlos C. DaCamara
IDL – Université de Lisbonnne
Email: cdcamara@fc.ul.pt

Qu'est ce que le canal 3.9 µm?





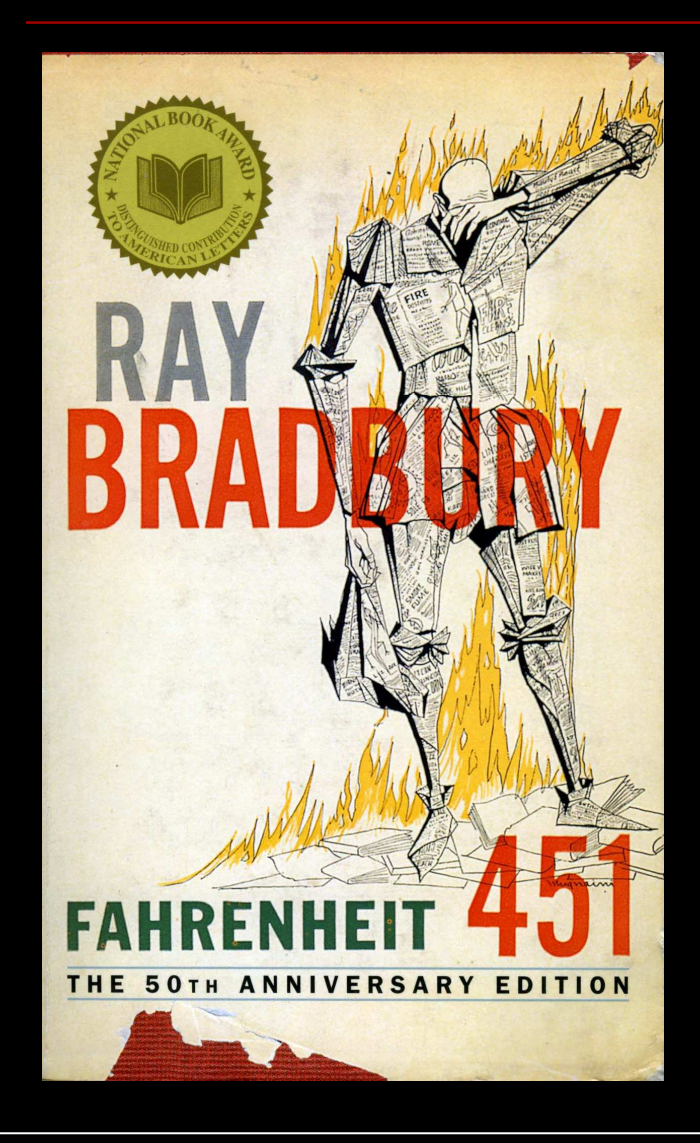
 $451^{\circ}F = 233^{\circ}C = 506 \text{ K}$



LOI DE WIEN

$$\lambda_{\max} \left[\mu m \right] = \frac{2898 \left[\mu m K \right]}{T[K]}$$

 $451^{\circ}F = 233^{\circ}C = 506 K$



LOI DE WIEN

$$\lambda_{\max} \left[\mu m \right] = \frac{2898 \left[\mu m K \right]}{T[K]}$$

$$5.7 \ \mu m = \frac{2898 \mu m \, K}{506 \, K}$$

 $451^{\circ}F = 233^{\circ}C = 506 \text{ K}$

LOI DE WIEN

$$\lambda_{\max} \left[\mu m \right] = \frac{2898 \left[\mu m K \right]}{T[K]}$$



$$3.9 \ \mu m = \frac{2898 \mu m K}{750 \ K}$$

Le produit FD&M repose sur <u>une</u> <u>procédure operationelle</u> qui permet la détection en temps quasi-réel des feux actifs à partir de l'information fournie par Meteosat-8/SEVIRI.

- Le produit FD&M repose sur <u>une</u> <u>procédure operationelle</u> qui permet la détection en temps quasi-réel des feux actifs à partir de l'information fournie par Meteosat-8/SEVIRI.
- La procédure s'inspire sur les <u>algorithmes</u> <u>contextuels</u> qui ont été développés pour différents senseurs, comme par exemple NOAA/AVHRR and AQUA-TERRA/MODIS.

- La procédure tient compte des charactéristiques suivantes du Meteosat-/SEVIRI:
 - Dans le domaine temporel: une image chaque 15 minutes;
 - Dans le domaine spatial: résolution de 3 km au nadir;
 - Dans le domaine spectral: 12 canaux.

Meteosat-8/9 data

1- Pre-processing Land-water mask Desert, urban zones and volcanoes mask

2- Selection of potential fire pixels

3- Detection of contaminated pixels Clouds Highly reflective surfaces Sun glint

4- Confirmation of active fire pixels Contextual test

Canal	Objectif
R(0.6)	Détection de nuages
R(0.8)	Détection de nuages Surfaces à haute reflectivité Sun Glint
Tb(3.9)	Détection de feux actifs
Tb(10.8)	Détection de feux actifs
Tb(12.0)	Détection de nuages

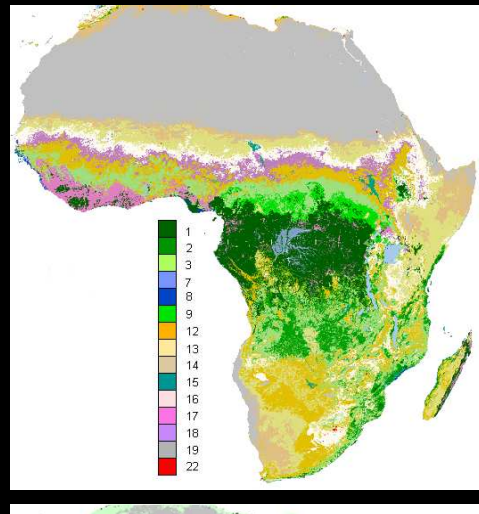
Meteosat-8/9 data

1- Pre-processingLand-water maskDesert, urban zones and volcanoes mask

2- Selection of potential fire pixels

3- Detection of contaminated pixels
Clouds
Highly reflective surfaces
Sun glint

4- Confirmation of active fire pixels Contextual test



Couvert du sol: GLC2000





Villes: Classe 22 (noir)
Désert: Classe 19 (gris)
Eau: Classe 20 (blanc)

Volcans: Glob. Volc. Progr. (rouge)

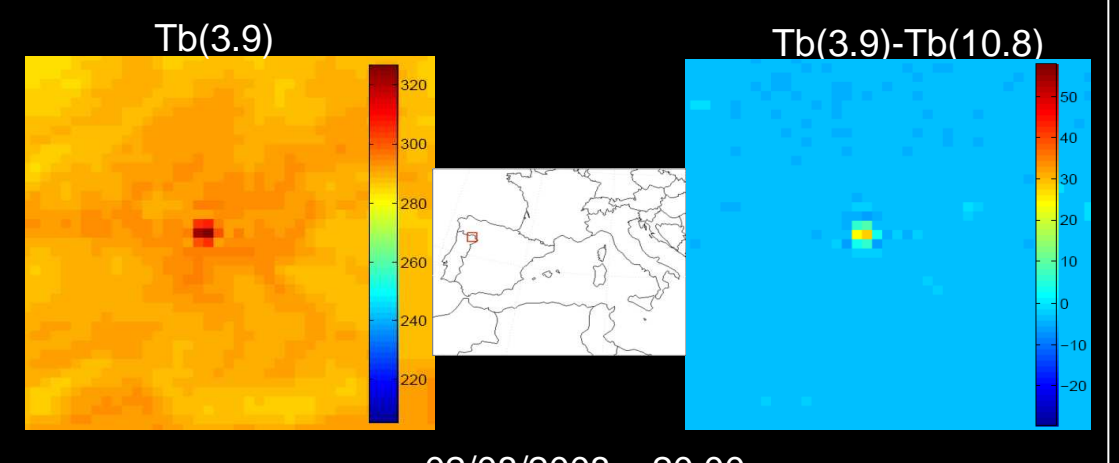
Meteosat-8/9 data

1- Pre-processing
Land-water mask
Desert, urban zones and volcanoes mask

2- Selection of potential fire pixels

3- Detection of contaminated pixels Clouds Highly reflective surfaces Sun glint

4- Confirmation of active fire pixels Contextual test



02/08/2008 – 20:00

La sélection de pixels qui peuvent contenir un feu actif repose sur le choix de seuils définis pour le canal MIR et pour les différences entre canaux MIR et IR.

Meteosat-8/9 data

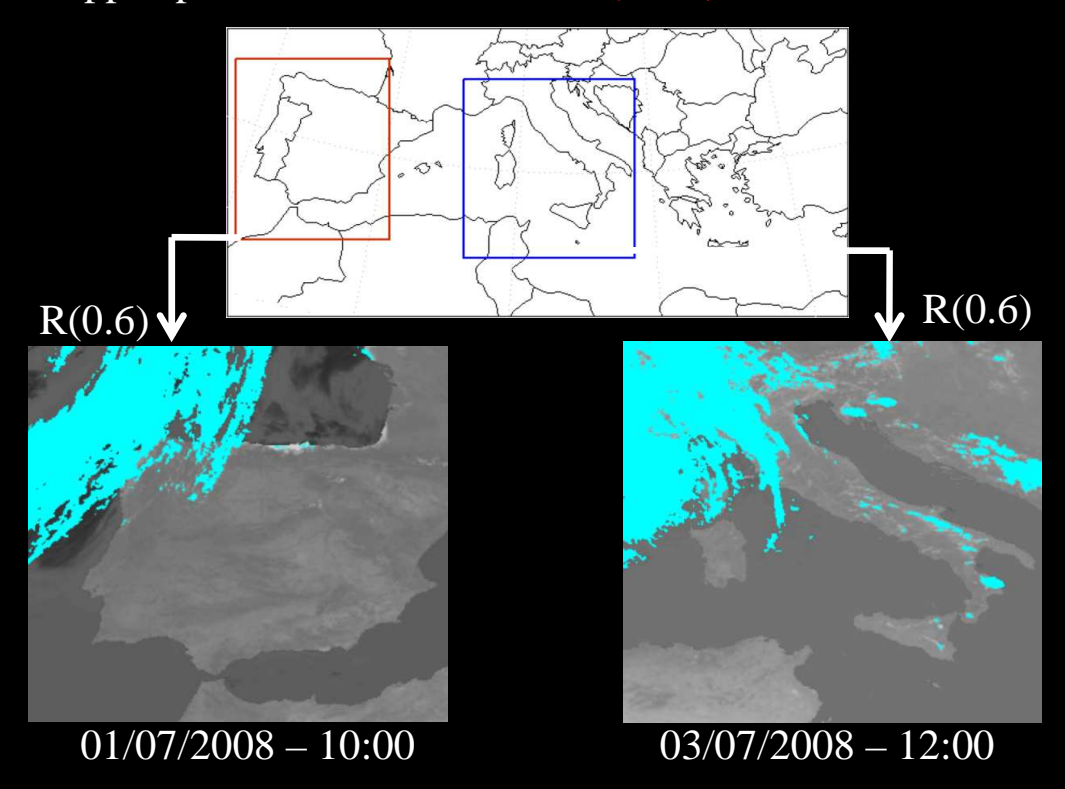
1- Pre-processingLand-water maskDesert, urban zones and volcanoes mask

2- Selection of potential fire pixels

3- Detection of contaminated pixels Clouds **Highly reflective surfaces** Sun glint

4- Confirmation of active fire pixels Contextual test

La détection de nuages repose sur la methodologie developpée par Saunders & Kriebel (1988).



Meteosat-8/9 data

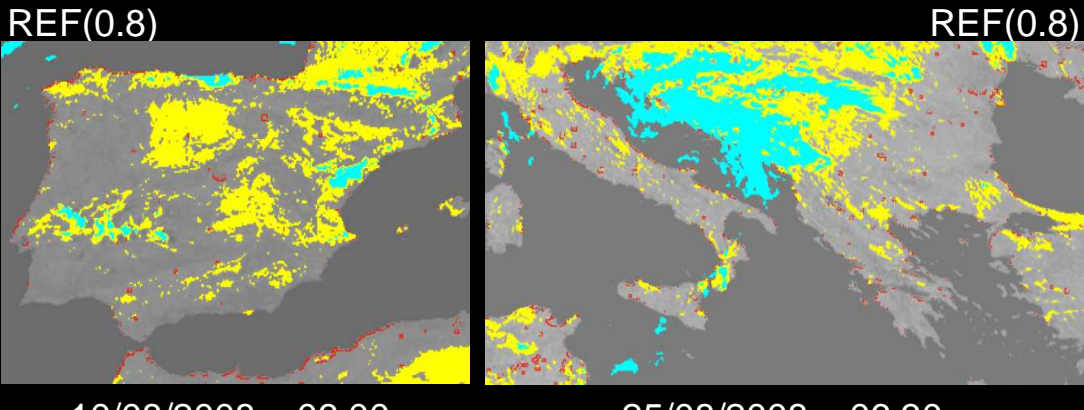
1- Pre-processingLand-water maskDesert, urban zones and volcanoes mask

2- Selection of potential fire pixels

3- Detection of contaminated pixels Clouds **Highly reflective surfaces** Sun glint

4- Confirmation of active fire pixels Contextual test

Un certain pixel est considéré comme étant **contaminné** par le sun glint si les pixels voisins sont 1) des corps aqueux, 2) ont une densité de végétation très basse, 3) sont des sols nus ou 4) sont contaminés par des nuages et pendant le jour si la condition suivante est vérifiée SZA > 40° et R(0.8) > 0.20



10/08/2008 - 06:00

25/08/2008 - 06:30

Meteosat-8/9 data

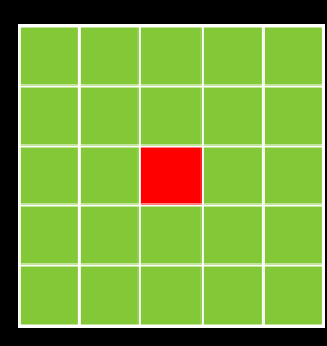
1- Pre-processingLand-water maskDesert, urban zones and volcanoes mask

2- Selection of potential fire pixels

3- Detection of contaminated pixels Clouds Highly reflective surfaces Sun glint

4- Confirmation of active fire pixels Contextual test

1- Définition de l'arrière plan (background)



L' arrière plan consiste d'un grillage de 5x5 pixels centré autour du pixel qui peut contenir un feu actif.

Cependant les pixels de l'arrière plan:

- (i)Ne peuvent pas être ni des pixels masqués aux étapes précédentes;
- (ii)Ni des pixels considérés comme pouvant contenir un feu actif.

Le grillage de 5x5 pixels doit contenir au moins 3 pixels voisins non rejetés;

Au cas d'un nombre insuffisant de pixels voisins, on ne calcule pas les statistiques mais le pixel est maintenu comme étant un pixel avec un feu actif en potentiel.

Meteosat-8/9 data

1- Pre-processing Land-water maskDesert, urban zones and volcanoes mask

2- Selection of potential fire pixels

3- Detection of contaminated pixels
Clouds
Highly reflective surfaces
Sun glint

4- Confirmation of active fire pixels Contextual test

2-Statistiques de l'arrière plan

Les pixels voisins retenus sont utilisés pour calculer un ensemble de statistiques qui charactérisent l'arrière plan. Les statistiques sont la moyenne et l'écart moyen absolu de Tb(3.9) et de ΔT , où: $\Delta T = Tb(3.9)-Tb(10.8)$]

3- Confirmation d'un pixel contenant un feu actif

Un pixel avec un feu en potentiel (pixel central du grillage) est confirmé comme un pixel avec un feu actif en comparant sa signature spectrale [Tb(3.9) et Δ T] avec les propriétés spectrales de l'arrière plan.

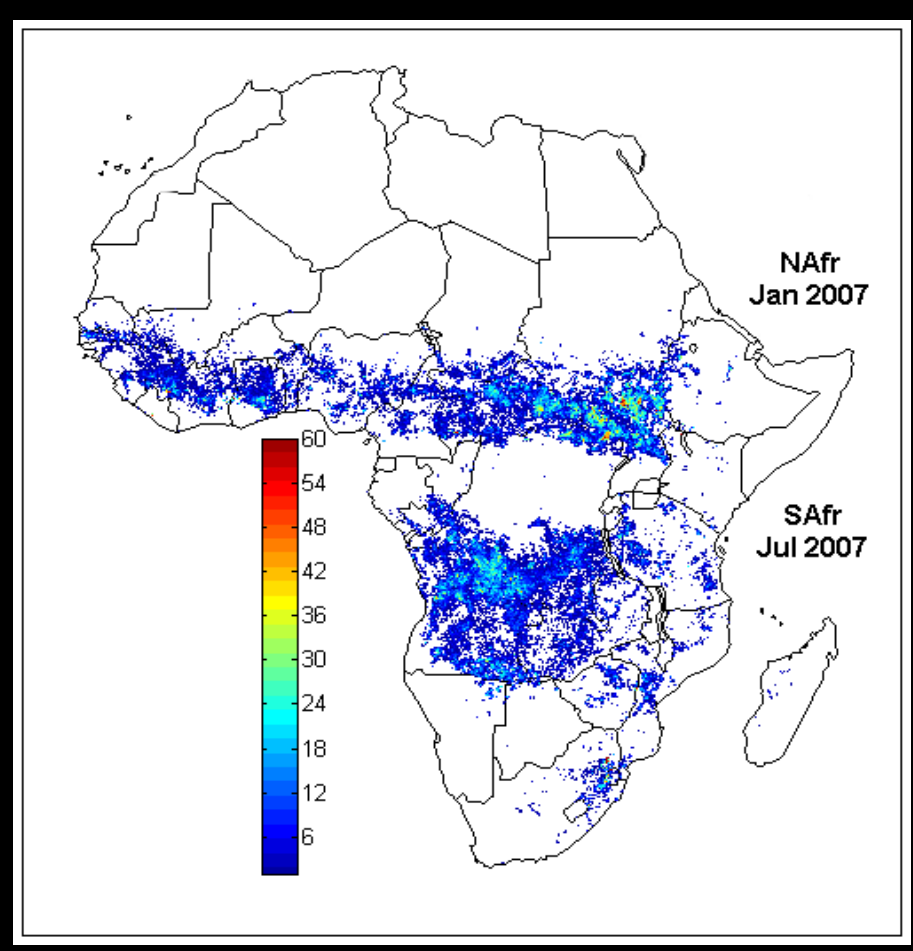
Pour une déscription complète de la procédure, voir: Amraoui, M., C.C. DaCamara, & Pereira, J.M.C. (2010). Detection and monitoring of African vegetation fires using MSG-SEVIRI imagery. Remote Sensing of Environment, 114 (5), 1038-1052.

AFRIQUE 2007

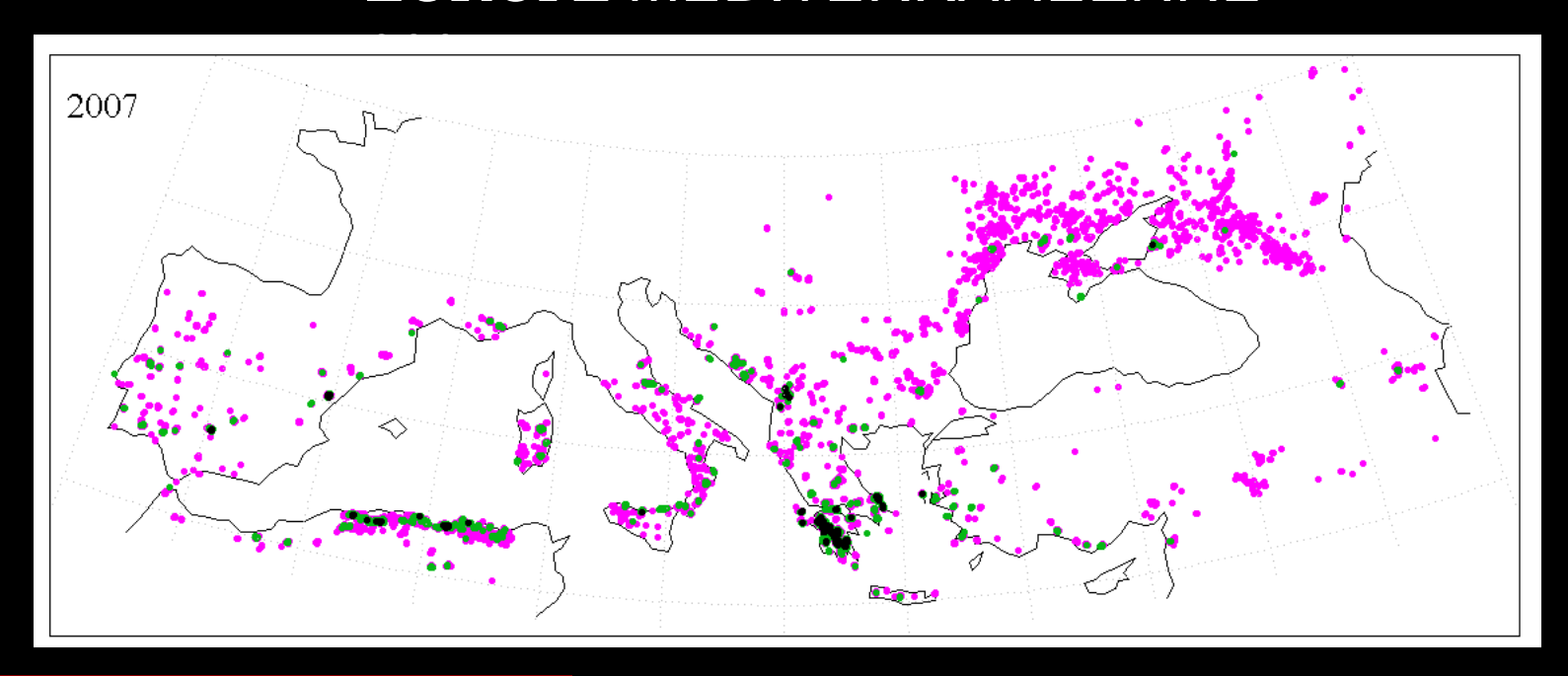
	NAfr	SAfr
Feux actifs	370239	325923
Pixels de feu	72536	73848

Pixels de feu sur l'Afrique septentrionale (Nafr) et sur l'Afrique méridionale (Safr), pendant les mois de janvier et de juillet 2007.

La colonne colorée indique, pour chaque pixel de feu, le nombre de feux actifs identifiés.



EUROPE MEDITERRANEÈNNE

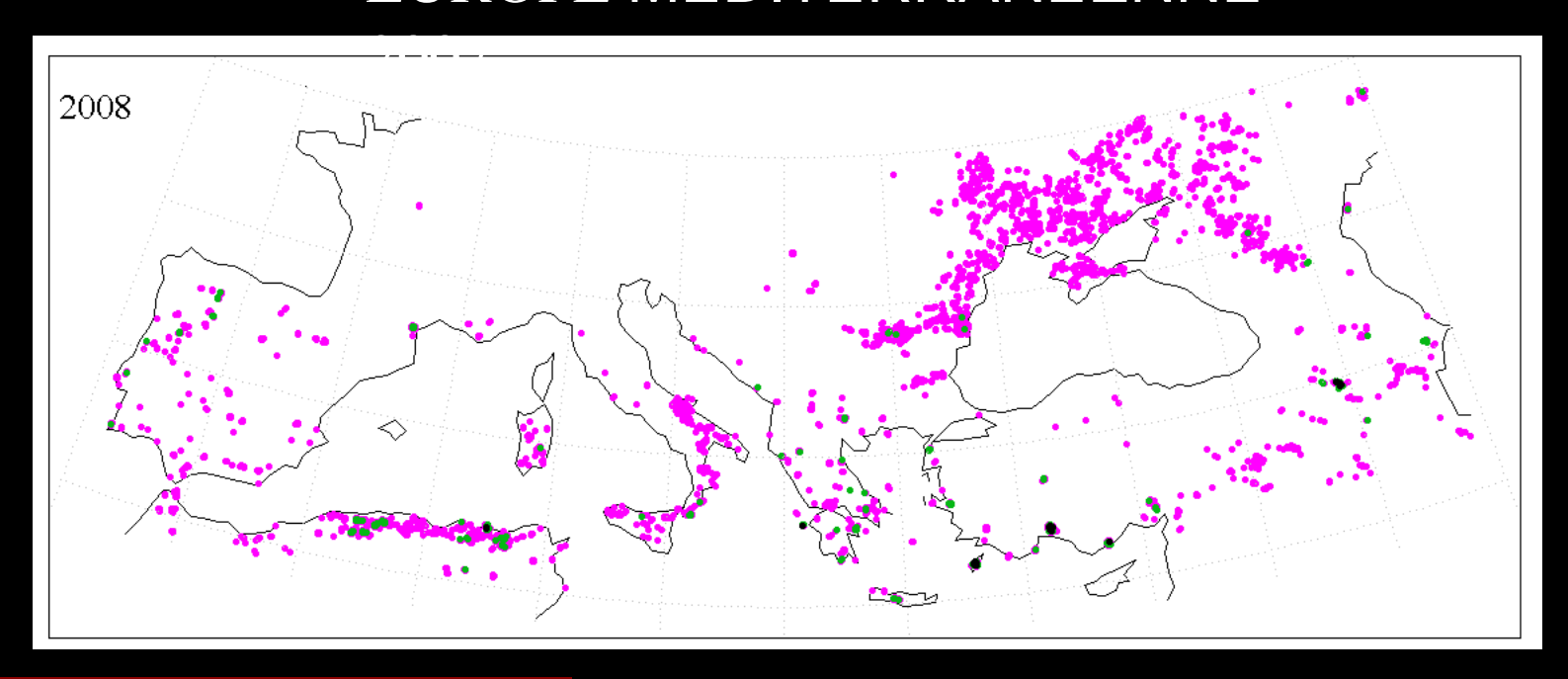


	Été 2007
Feux actifs	31772
Pixels de feux	4195

La persistence de feux est indiquée au moyen de la couleur du pixel de feul:

- Magenta: moins de 2 heures
- Vert: entre 2 et 10 heures
- Noir: au dessus de 10 h

EUROPE MEDITERRANEÈNNE

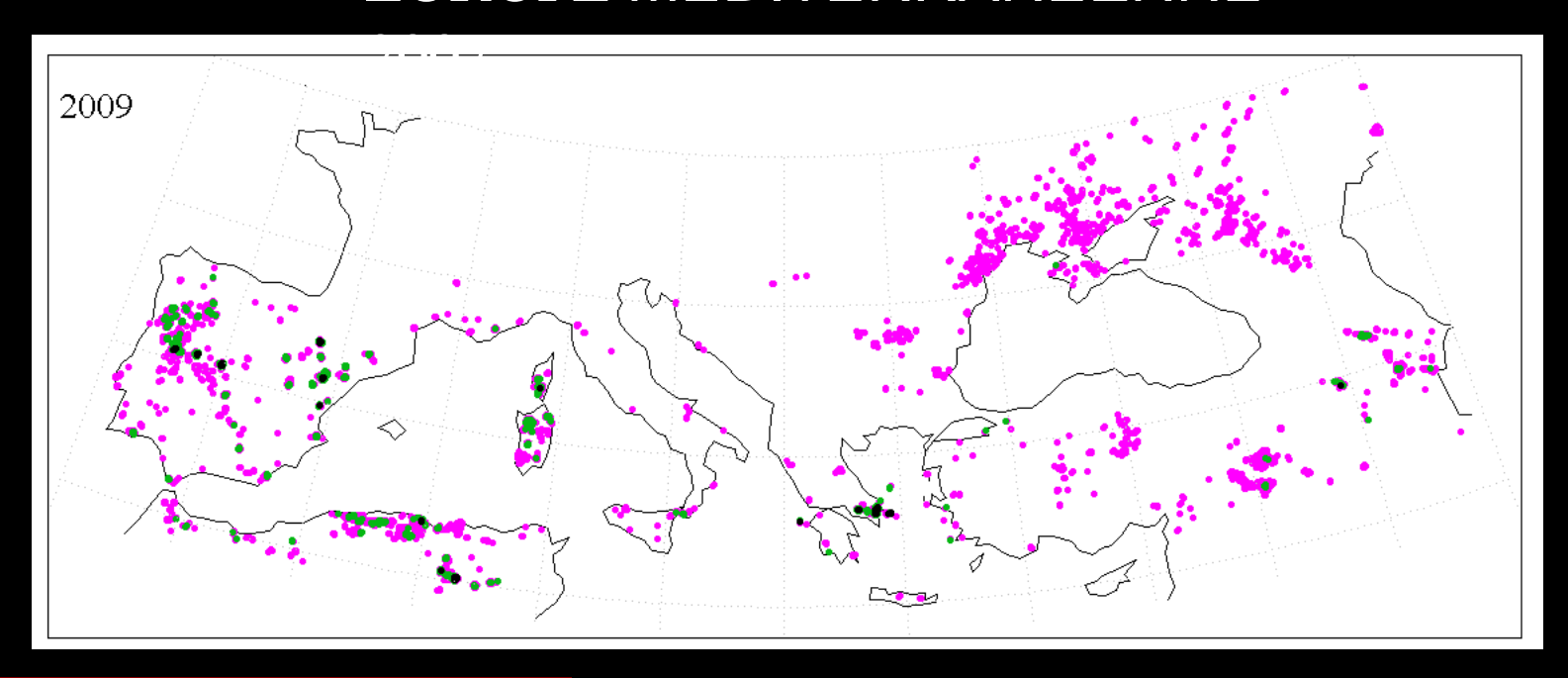


	Été 2008
Feux actifs	10497
Pixels de feu	3233

La persistence de feux est indiquée au moyen de la couleur du pixel de feul:

- Magenta: moins de 2 heures
- Vert: entre 2 et 10 heures
- Noir: au dessus de 10 h

EUROPE MEDITERRANEÈNNE

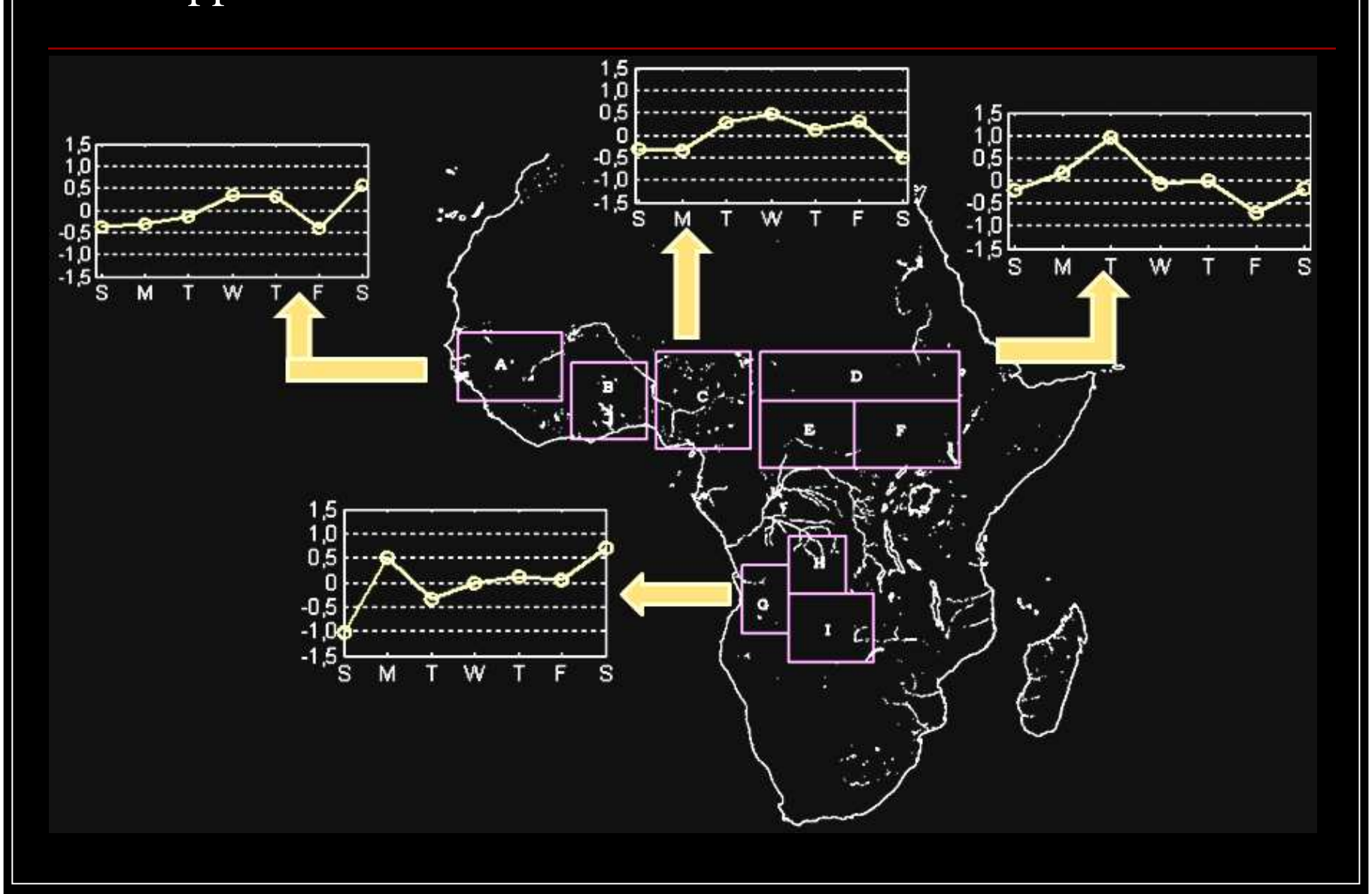


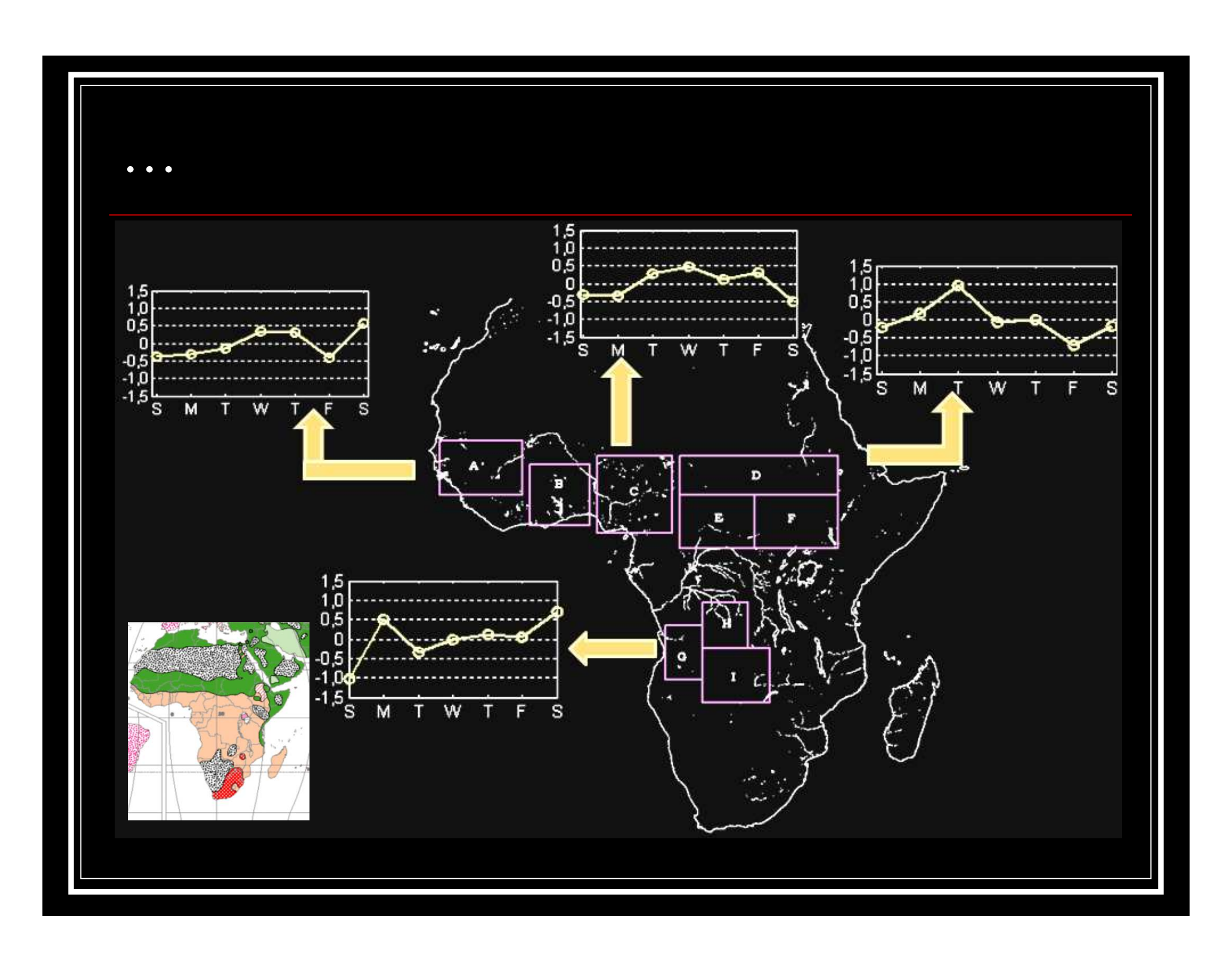
	Été 2009
Feux actifs	17579
Pixels de feu	2976

La persistence de feux est indiquée au moyen de la couleur du pixel de feul:

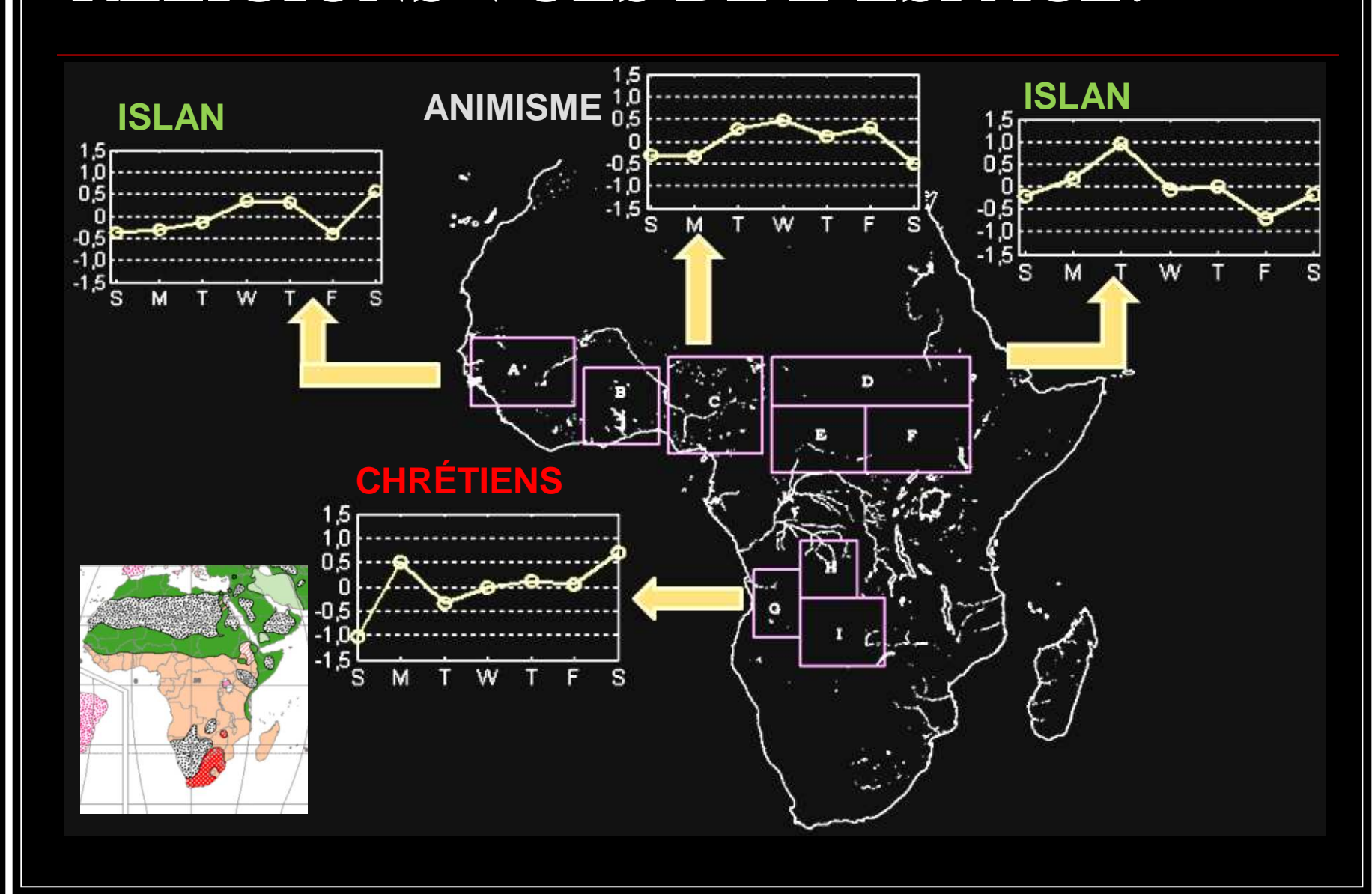
- Magenta: moins de 2 heures
- Vert: entre 2 et 10 heures
- Noir: au dessus de 10 h

Une application non usuelle: activité de feux hebdomadaire...

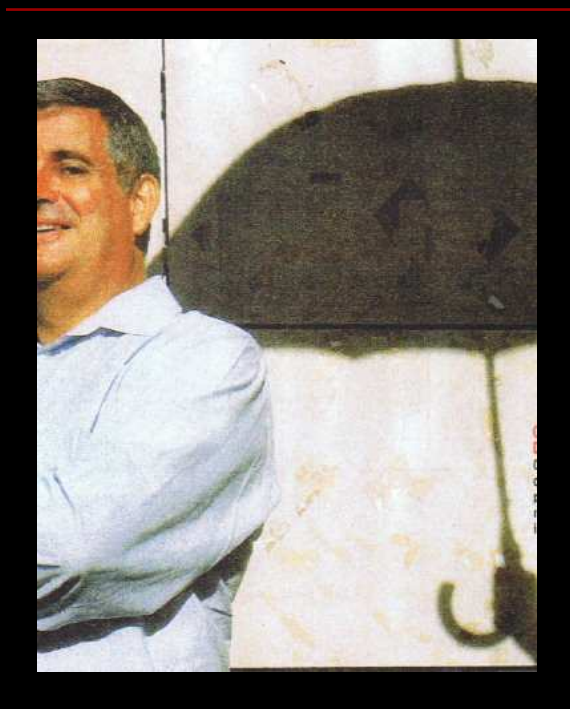




RELIGIONS VUES DE L'ESPACE!



Cours sur l'utilisation des produits satellitaires aux applications agro-météorologiques 5-9 Mai 2014 Ouagadougou (Burkina Faso)



PARTIE 1

DANGER D'INCENDIE





Carlos C. DaCamara
IDL – Université de Lisbonnne
Email: cdcamara@fc.ul.pt

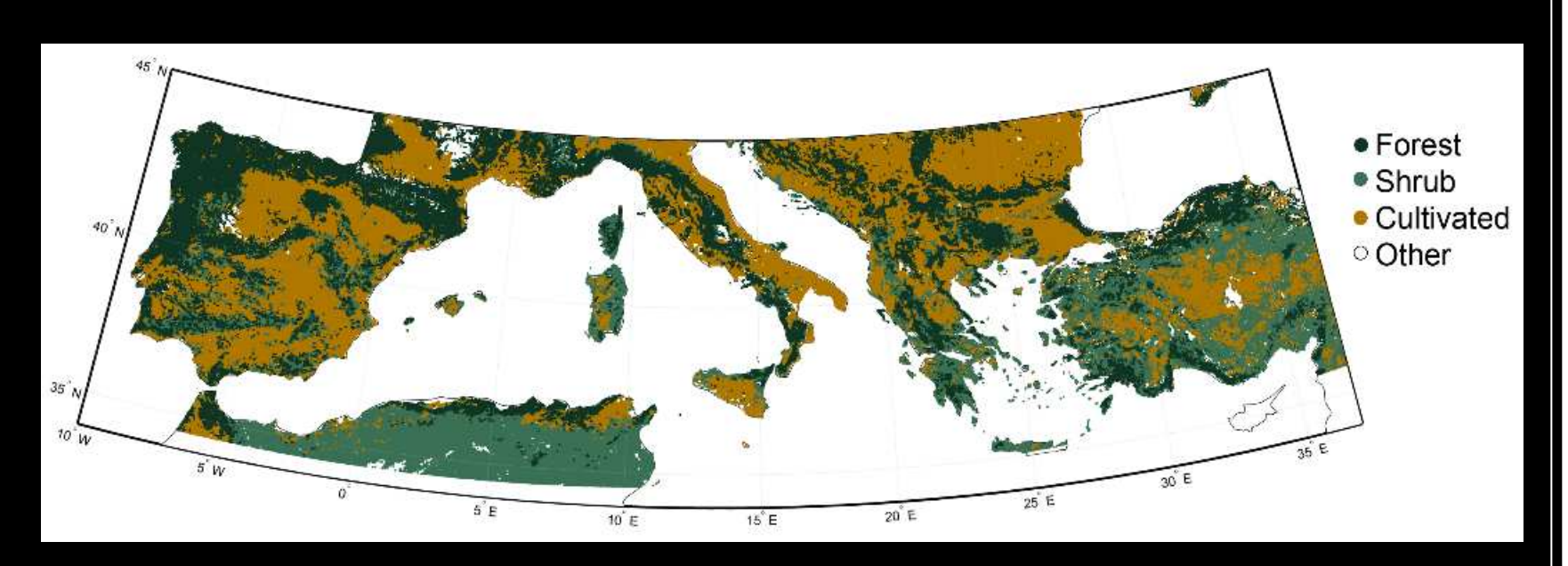
The Fire Risk Mapping product

Le produit RFM repose sur:

The Fire Risk Mapping product

Le produit RFM repose sur:

L'information du <u>type de végétation</u> (GLC200) qui nous donne une indication du <u>fuel disponible</u> et de la <u>flammabilité</u>.



The Fire Risk Mapping product

Le produit RFM repose sur:

 L'information de <u>l'endroit et de la durée</u> des épisodes de feu de végétation à partir du produit Fire Detection & Monitoring (qu'on vient d'analyser).

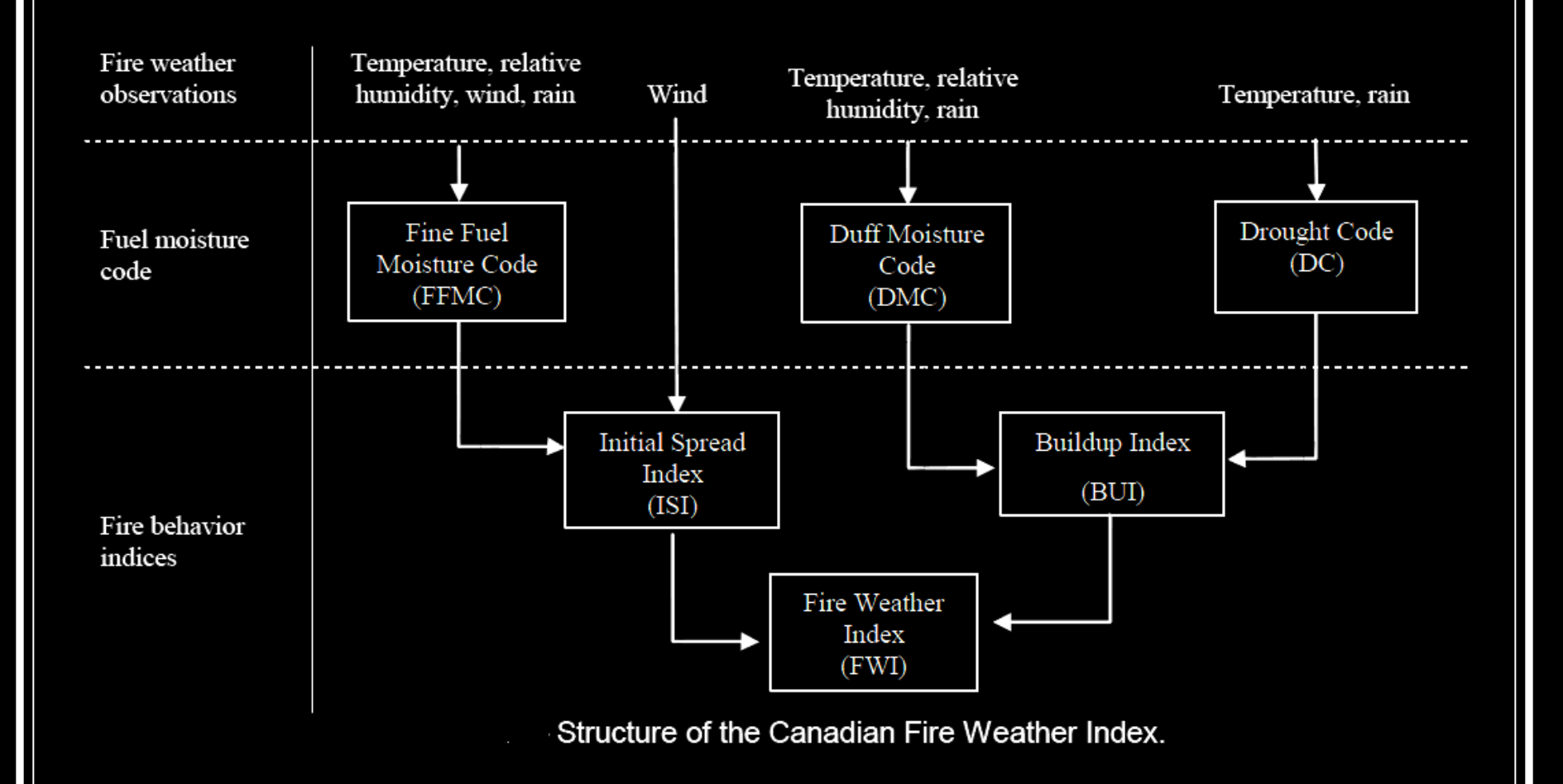


The Fire Risk Mapping product

Le produit RFM repose sur:

- L'information du <u>type de végétation</u> (GLC200) qui nous donne une indication du <u>fuel disponible</u> et de la <u>flammabilité</u>.
- L'information de <u>l'endroit et de la durée</u> des épisodes de feu de végétation à partir du produit Fire Detection & Monitoring (qu'on a analysé hier).
- Le Fire Weather Index, qui utilise des données metéorologiques pour estimer le <u>fuel disponible et la</u> <u>vitesse de propagation du feu</u>. Les données utilisées pour calculer le FWI est dérivé des champs météorologiques des analyses du ECMWF.

Le FWI



La distribution Generalisée de Pareto

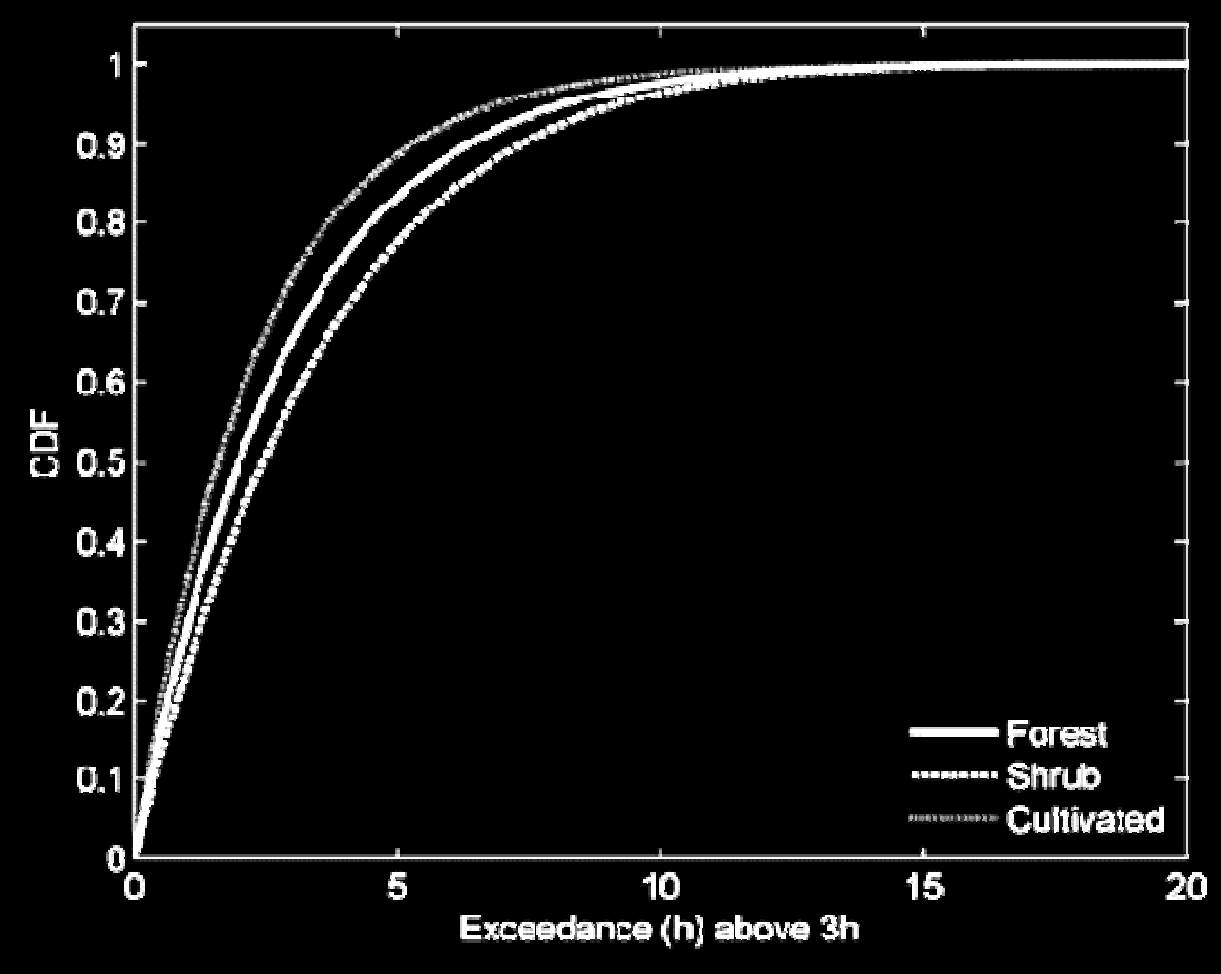
La durée des feux actifs est definie par le nombre consécutif de slots MSG (1 slot MSG = 15 minutes).

La distribution Generalisée de Pareto

- La durée des feux actifs est, chaque jour, definie par le nombre de slots MSG (1 slot MSG = 15 minutes) où du feu a été détecté.
- La durée des feux suit une distribution Generalisée de Pareto (GP).

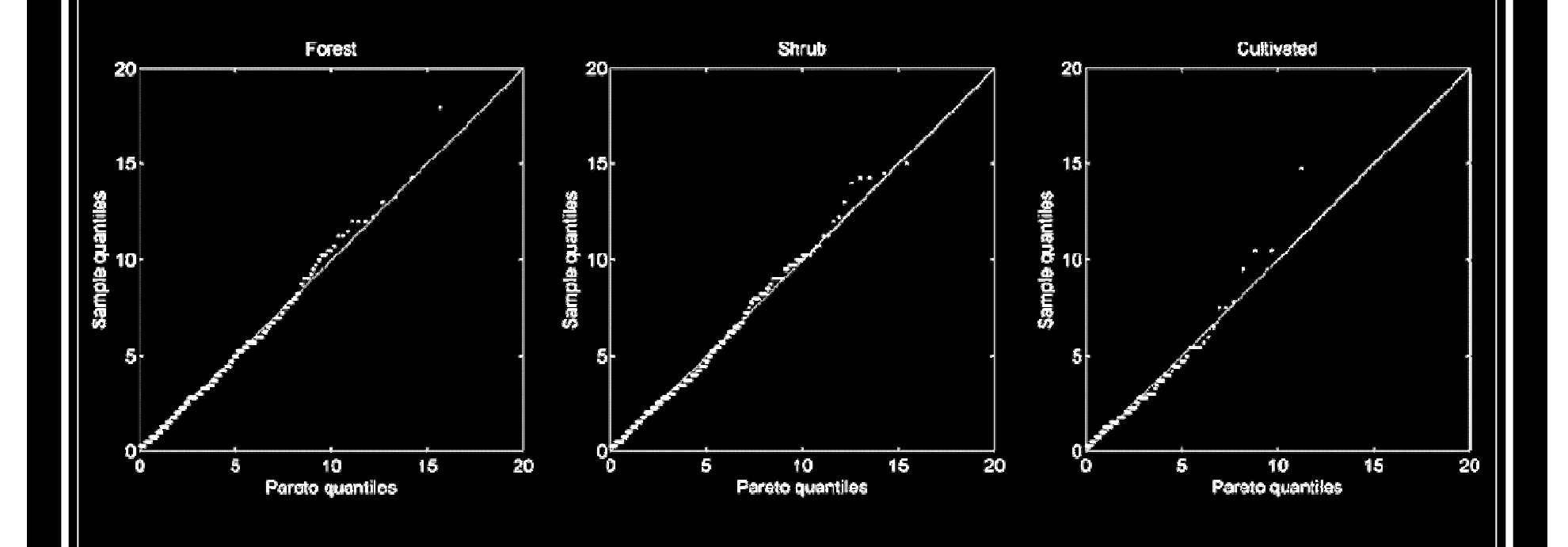
La distribution Generalisée de Pareto

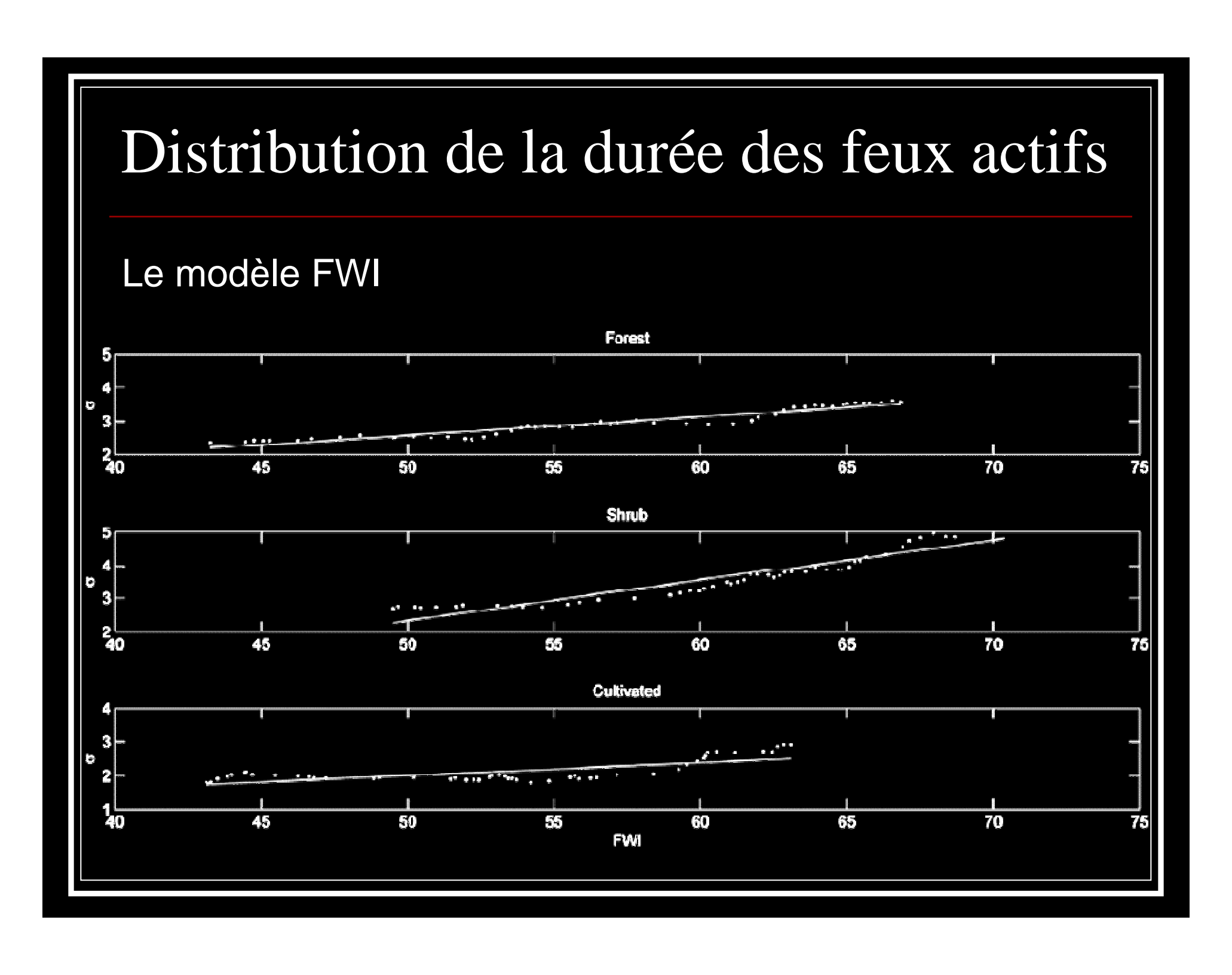




Distribution de la durée des feux actifs

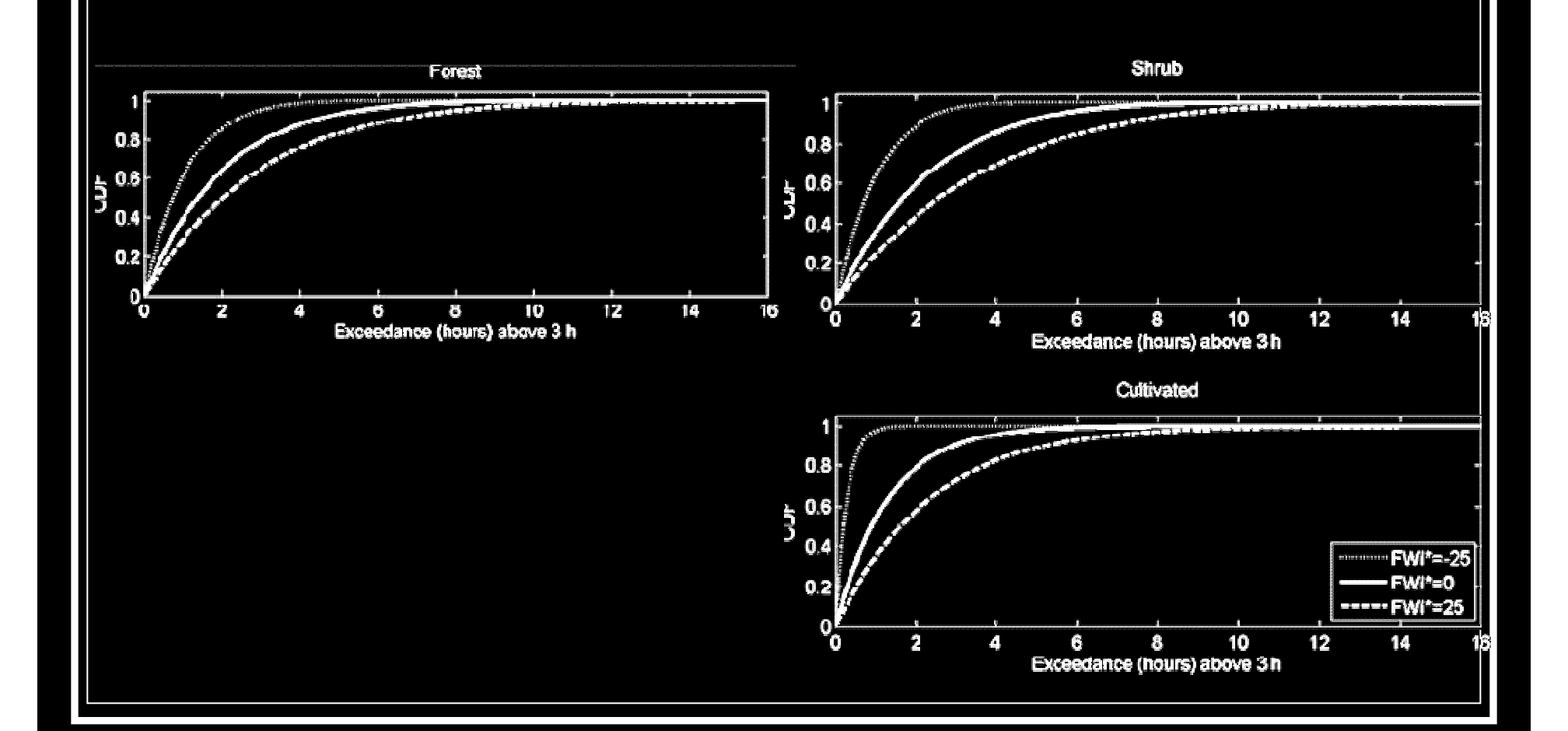
Le modèle de base





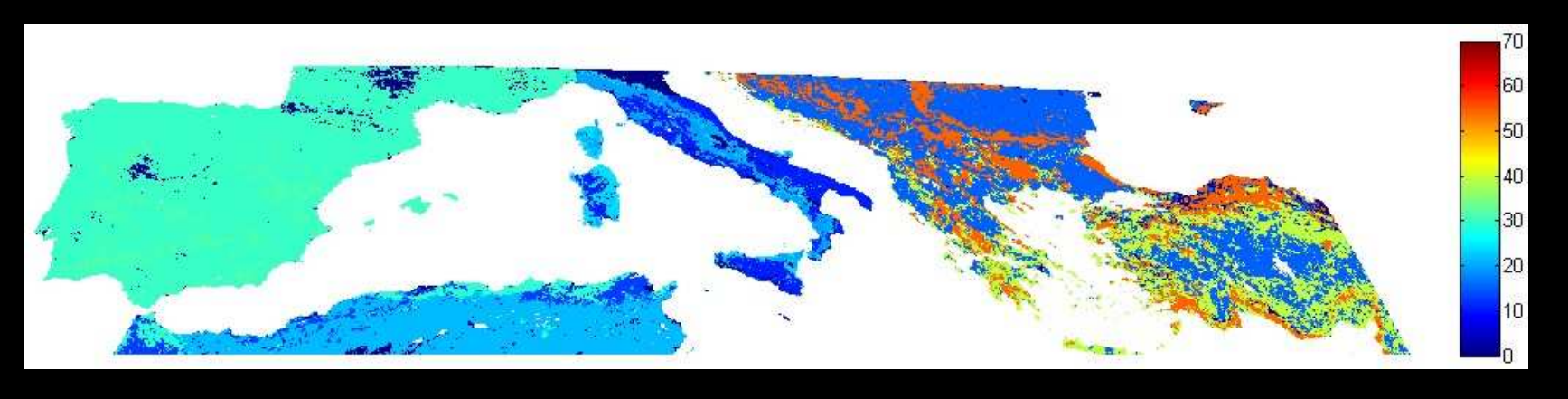
Distribution de la durée des feux actifs

Le modèle FWI

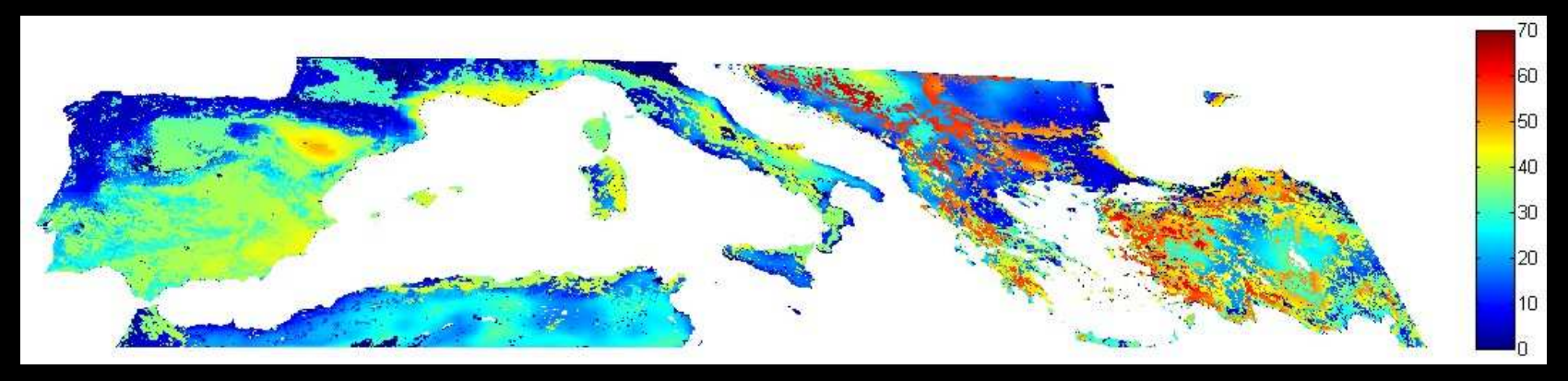


Risque de feu

Le modèle de base



Le modéle FWI – 24/07/07

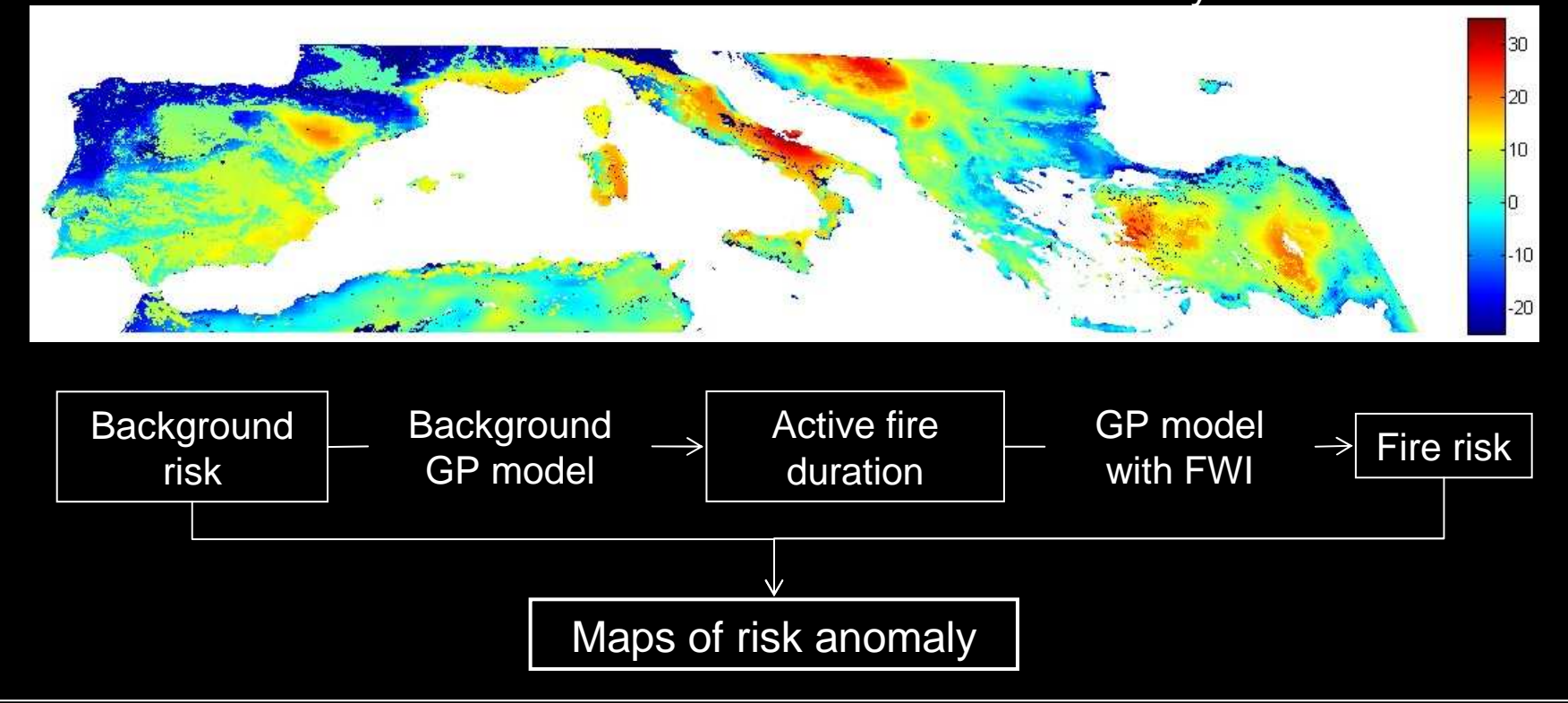


QUESTION: Etes-vous capable d'identifier des régions ou on aura des feux?

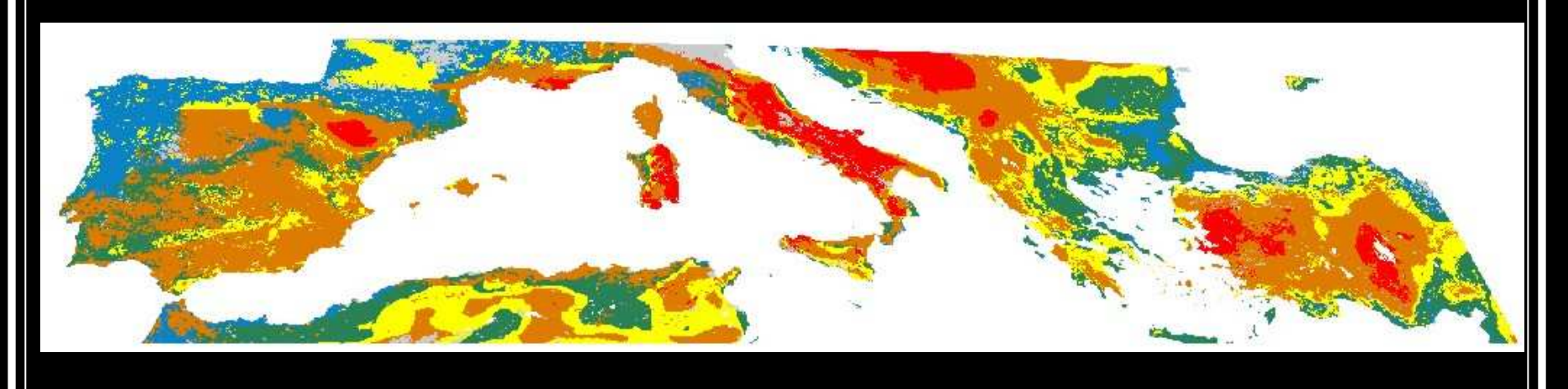
Anomalie du risque

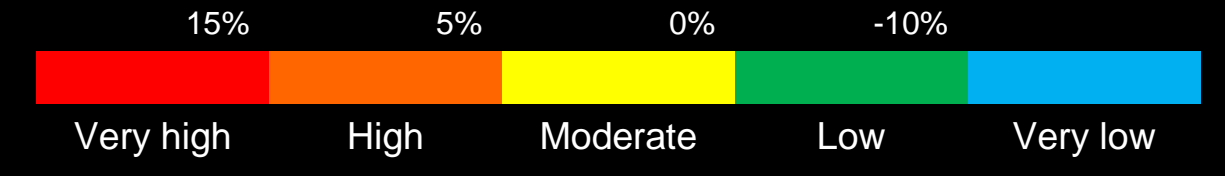
Une utilisation conjointe de cartes statiques basées sur le modèle d'arrière plan (qui ne dépend que de la végétation) et de cartes journalières basées sur le modèle qui utilise le FWI comme co-variable, fournit une indication du rôle joué par les conditions météorologiques qui peuvent aggraver ou diminuer le risque d'incendie.

Risk anomaly – 24/07/07

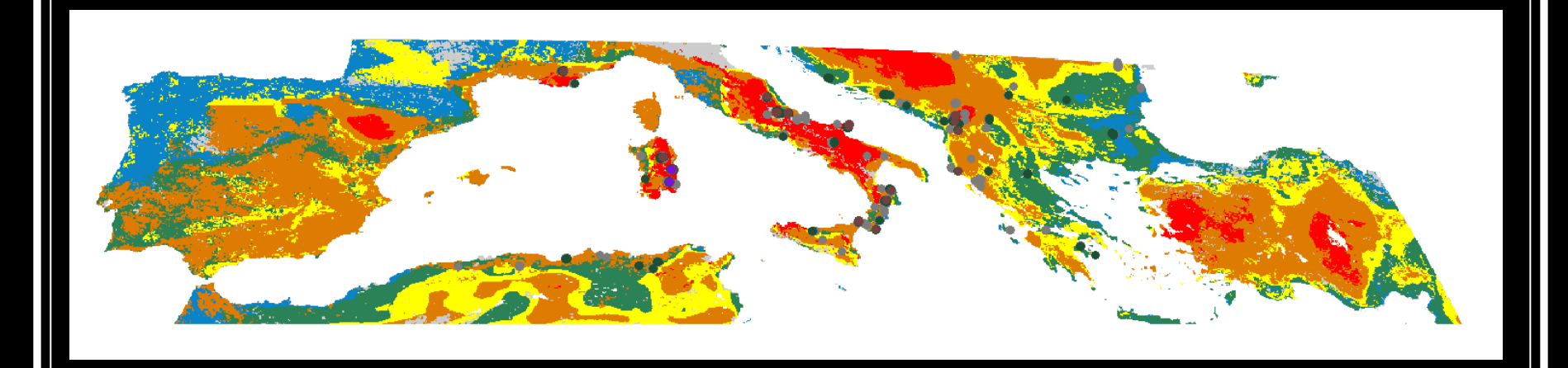


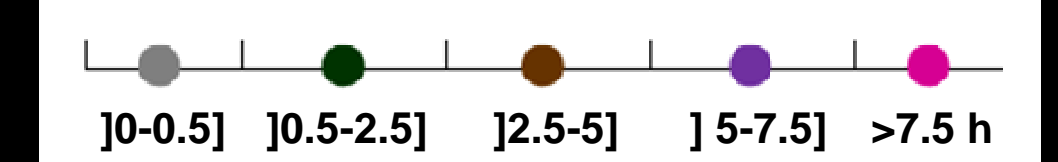
Classes de risque de feu

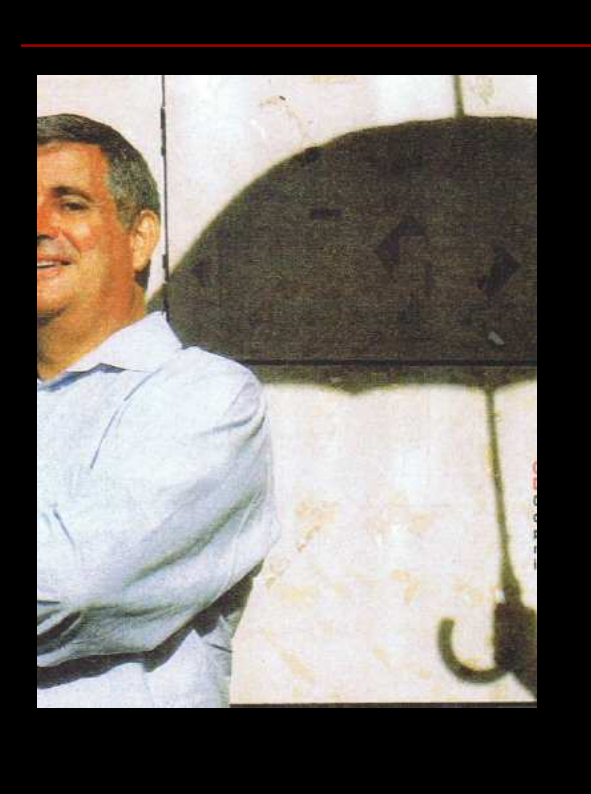




An "happy" ending!







À TOUT À L'HEURE!